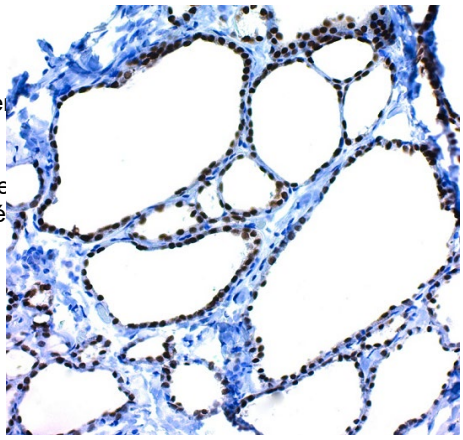
P.O. Box 3286 - Logan, Utah 84323, U.S.A. - Tél. (800) 729-8350 - Télécopieur (435) 755-0015 - www.scytek.com

Super bloc

Description: Super Block a été développé pour être utilisé avec des protocoles d'immunohistochimie pour la réduction de coloration de fond non spécifique, et en réduisant simultanément la manipulation de sérums animaux dans le laboratoire. La nécessité de faire correspondre l'espèce avec l'anticorps secondaire est éliminée en raison de l'absence de sérum normal dans ce produit.

pH : 7,4±0,1

Utilisations/Limites :
À ne pas prendre en interne.
Pour un usage de diagnostic in vitro unique
Applications histologiques.
Ne pas utiliser si le réactif devient trouble.
N'utilisez pas de date d'expiration dépassée
Soyez prudent lors de la manipulation du ré
Non stérile.



Thyroïde humaine colorée avec un anticorps TTF-1 dans le cadre d'une procédure IHC. Super Block a été utilisé pour éviter les taches d'arrière-plan non spécifiques.

Tissu témoin : Tout tissu bien fixé.

Disponibilité:

Article #	Volume
AAA125	125 ml
AAA500	500 ml
AAA999	1000 ml
AAA010	10 L
AAA-20000	20 L
AAA-50000	50 L
AAA-100000	100 L

Stockage: Conservez Super Block à une température de 2 à 8 °C. Le produit est stable pendant 18 mois à compter de la date de fabrication.

Procédure:

Immunohistochimique :

1. Incuber la section de tissu pendant 5 minutes à température ambiante ou à 37 °C avant l'application de l'anticorps primaire. Après l'incubation, rincer une fois dans le tampon (Remarque : ne pas incuber des coupes de tissus de plus de 10 minutes ou une réduction de la coloration souhaitée peut se produire).

2. Pour la coloration en vrac, versez Super Block dans un plateau de coloration couvert et trempez des lames pour 5 compte-rendu. Remplacez-le par du Super Block frais après 5 à 10 utilisations. Cette étape peut être effectué au moment de la déparaffinisation est souhaité. ***

Stockage : 2° C 8° C

Laboratoires ScyTek, Inc.
205 Sud 600 Ouest
Logan, Utah 84321
435-755-9848
États-Unis

CE IVD

EC REP
Emergo Europe
Prinsessegracht 20
2514 AP La Haye, Pays-Bas

P.O. Box 3286 - Logan, Utah 84323, U.S.A. - Tél. (800) 729-8350 - Télécopieur (435) 755-0015 - www.scytek.com

3. Pour les anticorps avec une coloration de fond particulièrement élevée, diluer Super Block dans du PBS (1:5-10) et à utiliser comme tampon de lavage en plus de l'étape de blocage.

Précautions: Ne pipetez pas le réactif par la bouche.
Évitez tout contact avec la peau et les yeux.
Laver après utilisation.
Respectez toutes les réglementations environnementales fédérales, étatiques et locales concernant l'élimination.

Références de la littérature spécifique au produit :

1) Buttini M., Yu G.Q., Shockley K., Huang Y., et al. La modulation des déficits synaptiques et cholinergiques de type Alzheimer chez les souris transgéniques par l'apolipoprotéine E humaine dépend de l'isoforme, du vieillissement et de la surexpression des peptides de β amyloïde, mais pas de la formation de la plaque. Le Journal des neurosciences, vol. 22, n° 24, pp 10539-10548, 15 décembre 2002.

2) Evans C.F., Horwitz M.S., Hobbs M.V., Oldstone M. L'infection virale de souris transgéniques exprimant une protéine virale dans les oligodendrocytes entraîne une maladie auto-immune chronique du système nerveux central. Journal de médecine expérimentale, Vol. 184 pp 2371-2384, décembre 1996.

3) Goleva E., Kisich K.O., Leung D.Y.M. Un rôle de STAT5 dans la pathogenèse de la résistance aux glucocorticoïdes induite par l'IL-2. Le Journal d'immunologie, Vol. 169, pp 5934-5940, 2000.

4) Lee E.H., Seomun Y., Hwang K.H., Kim J.E., Kim I.S., Kim J.H., Joo C.K. Surexpression du gène βig-H3 inductible par le facteur de croissance transformant β dans les cataractes polaires antérieures. Investigational Ophthalmology & Visual Science, vol. 41, n° 7, pp 1840-1845, juin 2000.

5) Lemaitre V., O'Byrne T.K., Borczuk A.C., et al. Les souris knock-out ApoE exprimant la métalloprotéinase-1 de la matrice humaine dans les macrophages ont moins d'athérosclérose avancée. Le Journal d'investigation clinique, vol. 107, n° 10, pp 1227-1234, mai 2001.

6) Matsubara S., Wada Y., Gardner T.A., et al. Un vecteur adénoviral compétent en réplication conditionnelle, Ad-OC-E1a, pour cocibler le cancer de la prostate et le stroma osseux dans un modèle expérimental de métastases osseuses du cancer de la prostate indépendantes des androgènes. Cancer Research, vol. 61, pp 6012-6019, 15 août 2001.

7) Pauley, R.J., Santner, S.J., Tait, L.R., Bright, R.K., Stanten, R.J. Transcription régulée de l'aromatase CYP19 dans les fibroblastes stromaux du sein. Le Journal d'endocrinologie clinique et de métabolisme, vol. 85, n° 2, pp 837-846, 2000.

8) Nemeth J.A., Yousif R., Herzog M., et al. Activité de la métalloprotéinase matricielle, renouvellement de la matrice osseuse et prolifération des cellules tumorales dans les métastases osseuses du cancer de la prostate. Journal de l'Institut national du cancer, vol. 94, n° 1, pp 17-25, 2 janvier 2002.

9) Nemeth J.A., Harb J.F., Barroso U., et al. Modèle immunodéficient-hu combiné sévère de métastases du cancer de la prostate humaine à l'os humain. Recherche sur le cancer, vol. 59, pp 1987-1993, 15 avril 1999.

10) Slominski A., Rologg B., Curry J., et al. La peau produit de l'urocortine. Le Journal d'endocrinologie clinique et de métabolisme, vol. 85, n° 2, pp 815-823, 2000.

11) Tseng C.P., Ely B.D., Li Y., Pong R.C., Hsieh J.T., Régulation du gène DOC-2 du rat au cours de la dégénérescence ventrale de la prostate du rat induite par la castration et sa fonction inhibitrice de croissance dans les cellules de carcinome prostatique humain. Endocrinologie, vol. 139, n° 8, pp 3542-3553, 1998.

Stockage : 2° C 8° C

Laboratoires ScyTek, Inc.
205 Sud 600 Ouest
Logan, Utah 84321
435-755-9848
États-Unis

CE IVD

EC REP
Emergo Europe
Prinsessegracht 20
2514 AP La Haye, Pays-Bas

P.O. Box 3286 - Logan, Utah 84323, U.S.A. - Tél. (800) 729-8350 - Télécopieur (435) 755-0015 - www.scytek.com

12) Tsunoda T., Inada H., Kalembeyi I., Imanaka-Yoshida K., et al. Implication des grandes variantes d'épissage de la ténascine C dans la progression du cancer du sein. American Journal of Pathology, vol. 162, n° 6, pp 1857-1867, juin 2003.

13) Upadhyay J., Shekarriz B., Nemeth J.A., Dong Z., et al. Immunolocalisation de la métalloprotéinase matricielle de type 1 (MT1-MMP) et de la MMP-2 dans la prostate humaine : modification de la localisation cellulaire associée à la néoplasie intra-épithéliale de la prostate de haut grade. Recherche clinique sur le cancer, Vol. 5. pp 4105-4110, décembre 1999.

14) Yamadori I., Yoshino T., Kondo E., Cao L., et al. Comparaison de deux méthodes de coloration des cellules apoptotiques de lignées cellulaires de leucémie : réactions terminales de désoxynucléotidyltransférase et d'ADN polymérase I. Le Journal d'histochimie et de cytochimie, vol. 46, n° 1, pp 85-90, 1998.

15) Yasoda A., Ogawa Y., Suda M., Tamura N., et al. Régulation peptidique natriuétique de l'ossification endochondrale. Le Journal de chimie biologique, vol. 273, n° 19, pp 11695-11700, 8 mai 1998.

16) Zhau H.Y.E., Chang S.M., Chen B.Q., Wang Y., et al. Phénotype réprimé par les androgènes dans le cancer de la prostate humaine. Proc. of Science , Vol. 93, pp 15152-12157, Cell Biology, décembre 1996.NationalAcademyUSA

17) C. F. Evans, M. S. Horwitz, M. V. Hobbs et M. B. Oldstone, « L'infection virale de souris transgéniques exprimant une protéine virale dans les oligodendrocytes conduit à une maladie auto-immune chronique du système nerveux central », J. Exp. Med., vol. 184, n° 6, pp. 2371-2384, déc. 1996.

18) G. N. Thalmann, P. E. Anezinis, S.-M. Chang, H. E. Zhau, E. E. Kim, V. L. Hopwood, S. Pathak, A. C. von Eschenbach et L. W. K. Chung, « Progression du cancer indépendante des androgènes et métastases osseuses dans le modèle LNCaP du cancer de la prostate humaine », Cancer Res, vol. 54, n° 10, pp. 2577-2581, mai 1994.

19) N. N. Shehadeh, F. LaRosa et K. J. Lafferty, « Activité altérée des cytokines dans l'inhibition adjuvante du diabète auto-immun », Journal of Autoimmunity, vol. 6, n° 3, pp. 291-300, juin 1993.

Stockage : 2° C 8° C

Laboratoires ScyTek, Inc.
205 Sud 600 Ouest
Logan, Utah 84321
435-755-9848
États-Unis

CE IVD

EC REP
Emergo Europe
Prinsessegracht 20
2514 AP La Haye, Pays-Bas